

## ГИГАНТСКИЙ РЕЗОНАНС В МОДЕЛИ КАПЛЯ ФЕРМИ-ЖИДКОСТИ

И. А. Агназер, Б. И. Барц, В. Т. Газарик-Эльцифии

Коллективные возбуждения ядер могут быть связанны, как известно, как с изменением формы поверхности ядра, так и с колебаниями всех ядерных частиц, т. е. носить объемный характер. Если ядро является достаточно тяжелым, то при рассмотрении его объемных колебаний можно не учитывать поверхностных эффектов и трактовать эти колебания как колебания ядерной материи [1 – 3]. С возбуждением таких колебаний связано явление гигантского резонанса в ядерных реакциях.

Для интерпретации гигантского резонанса в конкретных ядрах и сравнения результатов теории с экспериментальными данными, разумеется, недостаточным является рассмотрение ядра как бесконечной системы и необходимо учесть конечность размеров ядра.

Настоящее сообщение посвящено учету конечности размеров ядра в модели ферми-жидкости и сравнению выводов теории с экспериментальными данными о положении гигантского дипольного резонанса в фотоядерных реакциях. Мы рассматриваем ядро как каплю ферми-жидкости<sup>1)</sup>, причем учитываем как чисто ядерные, так и электрические силы, действующие между нуклонами ядра [3].

Ферми-жидкость можно описывать [5] функцией распределения квазичастиц по импульсам и координатам  $p', r, t$ , являющейся матрицей плотности по спиновым и изотопическим переменным. Равновесному состоянию соответствует функция распределения Ферми  $n_s(p) = \theta(\zeta - \epsilon_p)$ . ( $\zeta$  – граничная энергия,  $\theta(x) = \frac{1}{2}(1 + \text{sign } x)$ ). При не слишком

больших отклонениях от равновесия функция распределения удовлетворяет кинетическому уравнению

$$\left( \frac{\partial}{\partial t} + \frac{\partial \epsilon}{\partial p} \frac{\partial}{\partial r} \right) \delta n = \frac{\partial n_0}{\partial p} \frac{\partial}{\partial r} \left\{ S p \delta \cdot \vec{\tau} - (\mathcal{F}'(p, p') \delta n'(p', r, t)) \right. \\ \left. - \frac{d^3 p}{(2\pi)^3} \cdot e \frac{1 - r^2}{2} \phi(r, t) \right\} = 0,$$

где  $\delta n = n - n_0$ ,  $\mathcal{F}'(p, p') = \mathcal{F}^{(0)} + \mathcal{F}^{(s)} \delta \hat{\sigma} \cdot \vec{\tau}$ ,  $\mathcal{F}^{(1)} \delta \hat{\sigma} \cdot \vec{\tau}$ ,  $\mathcal{F}^{(s1)} \delta \hat{\sigma} \cdot \vec{\tau} \tau^s$  – функция, описывающая коротколеиствующее ядерное взаимодействие квазинуклонов ( $\frac{1}{2} \vec{\sigma}$  и  $\frac{1}{2} \vec{\tau}$  – операторы спина и изоспина) и  $\phi(r, t)$  – потенциал переменного электрического поля, связанного с функцией распределения квазинуклонов уравнением Нуассона

<sup>1)</sup> Недавно [4] предпринималась попытка интерпретировать гигантский резонанс в неупругом рассеянии электронов на ядре  $O^{16}$  рассматривая ядро как каплю обычной (описываемой уравнениями гидродинамики) жидкости.

$$\Delta\phi(r, t) = -4\pi e Sp_{G^2} \int \frac{1 + r_3}{2} \delta n(p, r, t) \frac{d^3 p}{(2\pi)^3}. \quad (2)$$

Уравнение (1) является обобщением известного уравнения Ландау – Сильина [5, 6].

Для ограниченной ферми-жидкости к уравнению (1) (имеющему место внутри ферми-жидкости) следует еще добавить условие, описывающее поведение функции распределения на поверхности ядра. В случае колебаний со свободной границей имеет место условие <sup>1)</sup>

$$\frac{\partial}{\partial r} \delta n(p, r, t) = 0, \quad r = R \quad (3)$$

( $R$  – радиус ядра).

Решая уравнение (1) совместно с условием (3) можно определить спектр собственных колебаний капли ферми-жидкости. В капле оказываются возможными колебания тех же типов, что и в бесконечной ферми жидкости [3], а именно, колебания плотности спина ( $s$ ), плотности спинозоспина ( $s_i$ ), поперечной компоненты плотности изоспина ( $i_1$ ) и связанные колебания плотности и плотности заряда (две ветви  $\omega_{i_3}$ -колебаний). Волновой вектор  $k_\ell^j$  колебания мультипольности с порядковым номером  $j$  связан при этом соотношением

$$k_\ell^j = x_\ell^j / R \quad (4)$$

с  $j$ -тым положительным корнем  $x_\ell^j$  выражения

$$x J_{\ell+1/2}'(x) - (1/2) \mu_{\ell+1/2}(x) = 0. \quad (5)$$

Частота же этого колебания  $\omega_\ell^j$  связана с волновым вектором тем же соотношением, что для бесконечной ферми-жидкости [3]. В частности в случае  $\omega_{i_3}$ -колебаний эта связь имеет вид

$$1 + F_{1,2} w(\omega / k v_F) = 0, \quad (6)$$

где

$$w(x) = 1 - \frac{x}{2} \ln \left| \frac{x+1}{x-1} \right|, \quad F_{1,2} = F^{(+)} + F^{(-)} \pm \sqrt{F^{(+)}{}^2 + F^{(-)}{}^2},$$

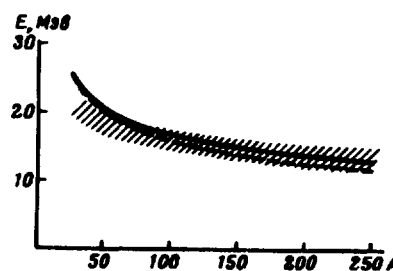
$$F^{(\alpha)} = \mathcal{J}^{(\alpha)} \Big|_{p=p'=p_F} \frac{2p_F m^*}{\pi^2}, \quad F^{(\pm)} = \frac{1}{2} (F^{(+)} \pm F^{(-)}), \quad (7)$$

$$F^{(\alpha)} = \frac{e^2}{k^2} \frac{2p_F m^*}{\pi}$$

<sup>1)</sup> Заметим, что в [4] несколько непоследовательно накладывались граничные условия не на саму плотность ядерного вещества, а на коэффициенты разложения ее по мультиполям.

$p_F$  и  $v_F$  – граничные фермиевские импульс и скорость,  $m^* = p_F/v_F$  – эффективная масса.

Приведенные выше и в [3] формулы позволяют, задав предварительно величины  $m^*$  и  $F$ , являющиеся характеристиками ядерной материи и поэтому одни и те же для всех средних и тяжелых ядер, рассчитать частоты коллективных возбуждений этих ядер, и, следовательно, положение гигантского резонанса в фотоядерных реакциях. Заметим, что так как нуклоны в ядре нерелятивистские ( $p_F \ll M$ ), то эти реакции связаны, в основном, с колебаниями плотности и плотности заряда. При этом должны, главным образом, возбуждаться колебания верхней  $\omega_3$  ветви (переходящие в  $\omega_3$ -колебания при уменьшении  $A$ ), так как вклад возбуждения нижней ветви в сечение реакции при значениях  $F^{(0)}, F^{(i)}$ , найденных в [7], значительно меньше [1].



На рисунке положение первого дипольного колебания этого типа (сплошная кривая) сравнивается с экспериментальными данными [8] (заштрихованная область), укладывающимися в известное эмпирическое соотношение

$$E_{\text{дип}} = (40,7 \pm 1,8) A^{-0.20 \pm 0.01} \text{ МэВ} \quad (8)$$

Для величин  $F^{(0)}$  и  $F^{(i)}$  использованы значения, найденные Мигдалем и Ларкиным [7] на основании анализа данных о сжимаемости ядерной материи и ее концентрации,

$$F^{(0)} = 0,5, \quad F^{(i)} = 1,5, \quad (9)$$

а для  $v_F$  – значение  $v_F = 0,2$  с. Пунктиром показан ход кривой  $\omega(A) \sim A^{-1/3}$ , получающейся при пренебрежении кулоновским взаимодействием.

Мы видим, таким образом, что модель капли ферми-жидкости со свободной границей, учитывающая наряду с чисто ядерным, также и электрическое взаимодействие нуклонов, хорошо описывает положение гигантского дипольного резонанса для большого числа ядер. В частности, удается объяснить более медленное убывание энергии гигантского дипольного резонанса, чем по обычному для жидкости закону  $A^{-1/3}$ . Подчеркнем, что входящие в теорию параметры  $F^{(0)}$  и  $F^{(i)}$  берутся при этом из анализа данных, не относящихся к гигантскому резонансу [7].

В заключение авторы выражают благодарность А.И.Ахиезеру за ценные советы и И.С.Шапиро и участникам руководимого им семинара за полезное обсуждение .

Харьковский  
государственный университет  
им. А.М.Горького

Поступила в редакцию  
30 сентября 1971 г.

### Литература

- [ 1 ] A.G.Sitenko, I.V.Simenog. Nucl. Phys., 53, 409, 1964; 70, 535, 1965.
  - [ 2 ] А.И.Ахиезер, И.А.Ахиезер, ЯФ, 8, 1029, 1968.
  - [ 3 ] А.И.Ахиезер, И.А.Ахиезер, Б.И.Барц. ЖЭТФ, 56, 2081, 1969;  
И.А.Ахиезер, Б.И.Барц. ЯФ, 11, 168, 1970.
  - [ 4 ] R.Raphael, H.Überall, C.Werntz. Phys. Rev., 152, 899, 1966.
  - [ 5 ] Л.Д.Ландау. ЖЭТФ, 30, 1058, 1956.
  - [ 6 ] В.П.Силин. ЖЭТФ, 33, 495, 1957.
  - [ 7 ] А.Б.Мигдал. ЖЭТФ, 43, 1940, 1962; А.Б.Мигдал, А.И.Ларкин. ЖЭТФ,  
44, 1703, 1963.
  - [ 8 ] B.I.Goryachev. Atomic Energy Review Internat. Atomic Energy Agency,  
Vienna, 2, 71, 1964.
-